

ヒドロナリウム Al 合金鋳物の機械的特性

長坂明彦^{*1}・中澤啓明^{*2}・掛川洋平^{*3}
田口信司^{*3}・小山敦史^{*3}・深井郁夫^{*4}

Mechanical Properties of Hydronium Aluminum Alloy Castings

NAGASAKA Akihiko^{*1}, NAKAZAWA Takaaki^{*2}, KAKEGAWA Yohei^{*3},
TAGUCHI Shinji^{*3}, KOYAMA Atsushi^{*4} and FUKAI Ikuo^{*4}

キーワード：ヒドロナリウム，アルミ合金鋳物，機械的特性

1. はじめに

ヒドロナリウムは、Mg を加えた Al 合金鋳物で、耐蝕性が最良で、伸びおよび衝撃値が高いが鋳造性が良くない^{1, 2)}。とくに、薄肉物を鋳込むとき、湯流れ等が良くないという欠点がある。現在、水中ポンプの構成部品にヒドロナリウムが採用されるなど、今までにない軽量でしかも高性能なポンプが誕生している。

そこで本研究では、ヒドロナリウムの鋳造性を改善することを目的として、まず鋳込み温度の異なるヒドロナリウムの機械的性質（引張り、衝撃、硬さ、ねじりおよび疲労限）を調査・検討した。

2. 実験方法

供試材には表 1 の化学組成を有する 3 種類の Al 合金鋳物を用いた。Mg 系 Al 合金鋳物であるヒドロナリウム (7A) の鋳込み温度は、750°C と 770°C とした。比較として、Si 系 Al 合金鋳物であるシルミン (4B) を用い、鋳込み温度は 750°C とした。以後 7A750, 7A770

表 1 アルミ合金鋳物の化学組成 (mass%)

Alloy	Casting Temp.	Cu	Si	Mg	Al
7A	750°C	0.03	0.11	4.50	bal.
	770°C				
4B	750°C	3.30	8.70	0.35	bal.

および 4B と呼ぶこととする。

衝撃試験には V ノッチ試験片（図 1）を用い、板厚 t を 2.5, 5.0, 7.5 および 10.0 mm のサブサイズ試験片に加工後、シャルピー衝撃試験機により試験を行った。シャルピー衝撃値 C (J/cm²) は次式(1)によって評価した。

$$C = WR (\cos \beta - \cos \alpha) / A \quad \dots (1)$$

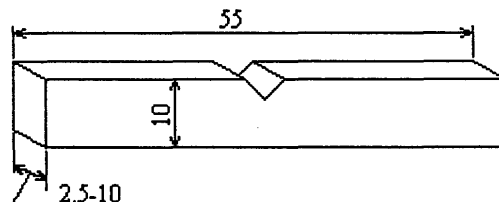


図 1 シャルピー衝撃試験片

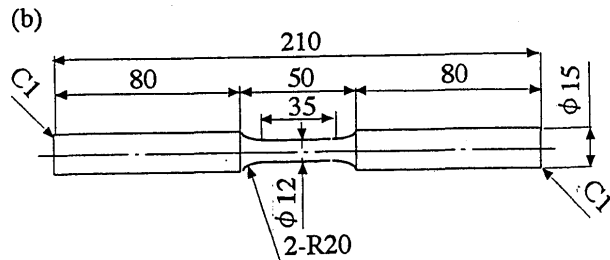
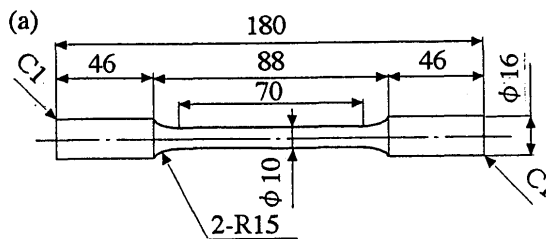


図 2 試験片形状

(a) JIS14A 号試験片, (b) 回転曲げ疲労試験片

2005 年 3 月 9 日 (社) 日本機械学会北陸信越支部第 42 期総会・講演会にて一部発表。

*1 機械工学科教授

*2 (有) 中澤鋳造所

*3 長野工業高等専門学校専攻科

生産環境システム専攻学生

*4 技術室第一技術班

原稿受付 2005 年 5 月 20 日

ここで、 W (N)、 R (m)、 β (deg)、 α (deg) および A (cm^2) はそれぞれハンマの荷重、腕の長さ、ハンマの持上げ角、試験片破断後のハンマの持上り角および切欠き部の原断面積である。

引張試験には JIS14A 号試験片 (GL=50mm) を用いた (図 2(a))。インストロン型万能試験機により、クロスヘッド速度は 1mm/min (ひずみ速度 2.4×10^{-4}) で試験を行った。

一方ねじり試験には JIS14A 号試験片を用いた (図 2(a))。ねじり速度は 50deg/min で試験を行った。ねじり試験機により、トルクとねじれ角を出力した。

疲労試験には平滑試験片を用いた (図 2(b))。小野式回転曲げ疲労試験機により、試験を行った。なお、必要に応じ、ビッカース硬さ測定を行った。

3. 実験結果および考察

3.1 ミクロ組織、引張りおよびねじり特性

図 3 に 7A750 のミクロ組織を示す。腐食は水酸化ナトリウム水溶液で 10s、硝酸水溶液で 10s 洗浄後、同様の水酸化ナトリウム水溶液で 15min、水洗い 10min

で行った。

表 2 に供試材のシャルピー衝撃値 C (J/cm^2)、ビッカース硬さ HV (荷重 9.81N)、引張強さ TS (MPa)、全伸び TEL (%)、強度一延性バランス $TS \times TEL$ (MPa%) およびねじり強さ (最大せん断力) τ_{max} (MPa) を示す。

図 4 に衝撃値と板厚の関係を示す。

図 5 に破断後の引張試験片、図 6 に引張破面および図 7 に応力-ひずみ曲線を示す。

また、図 8 に破断後のねじり試験片を、図 9 にねじり破面および図 10 にトルク (M_T) とねじれ角 (θ) の関係を示す。ここで、 $TS \times TEL$ は延性の指標として、引張強さと全伸びの積で比較した。 τ_{max} は次式(2)により求めた。

$$\tau_{max} = 16M_T / (\pi d^3) \quad \dots \dots (2)$$

ここで、 M_T (Nm) および d (mm) は、それぞれ最大トルクおよび初期直径である。

表 2 アルミ合金鉄物の機械的特性

Alloy	Casting Temp.	C (J/cm^2)	HV	TS (MPa)	TEL (%)	$TS \times TEL$ (MPa%)	τ_{max} (MPa)
7A	750	11.7	95	158	5.7	901	37.3
	770	—	115	152	5.2	790	34.2
4B	750	2.6	120	172	1.4	241	26.5

C : シャルピー衝撃値、 HV : ビッカース硬さ(荷重=9.81N)、 TS : 引張強さ、 TEL : 全伸び、 $TS \times TEL$: 強度一延性バランス、 τ_{max} : 最大せん断力

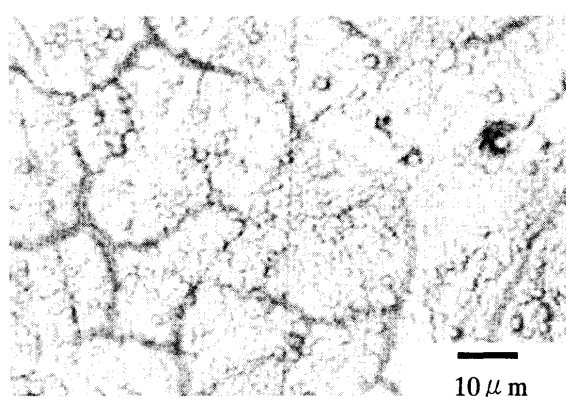


図 3 7A750 の組織写真

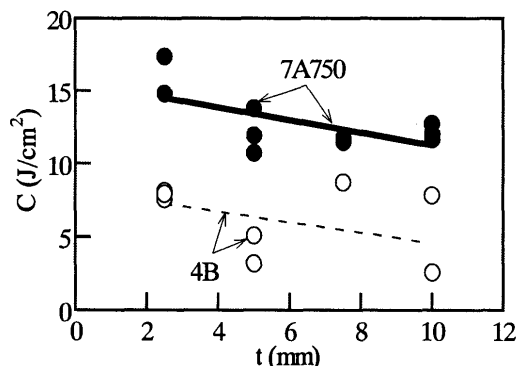


図 4 衝撃値と板厚の関係

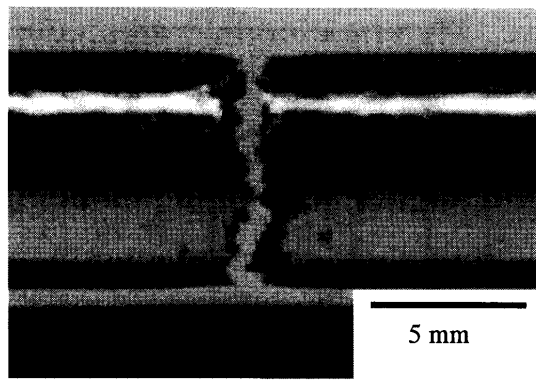


図 5 破断後の引張試験片

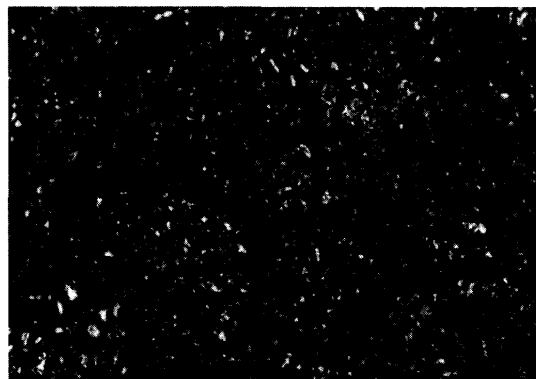


図 6 引張破面

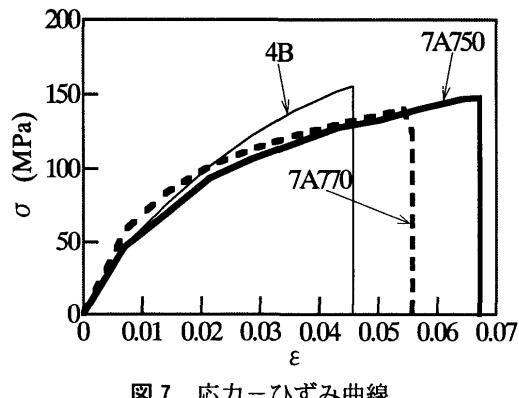


図 7 応力-ひずみ曲線

表2より、ヒドロナリウム 7A750 のシャルピー衝撃値 C は、4B より 4 倍程度高く、相対的に韌性が高いことがわかる。ビッカース硬さ HV および引張強さ TS は同等であるが、ヒドロナリウムの全伸びが大きく、ヒドロナリウムは 4B より良好な強度-延性バランス $TS \times TEI$ を示した。

図 4 より、7A750 は 4B に比べ板厚が薄くなると、衝撃値が高くなる傾向にあることがわかる。

図 7 より、引張強さ TS は変わらないが、7A750 の伸びが相対的に大きいことがわかる。

図 10 より、7A750 のトルクとねじれ角が相対的に大きく、ねじり強さ τ_{max} も高いことがわかる(表2)。

以上のことより、ヒドロナリウムの鉄込み温度は、750°Cの機械的特性が優れていた。これは、790°Cの鉄込み温度で、ピンホールが発生することなどが一因であると考えられる。

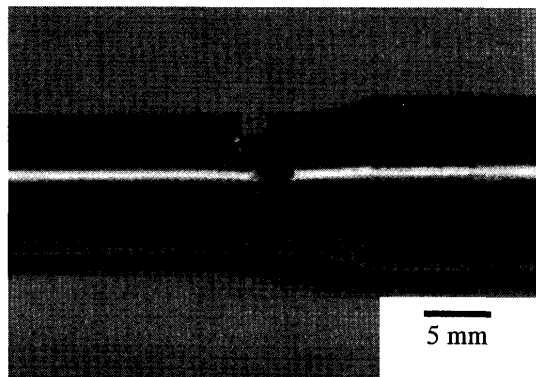


図 8 破断後のねじり試験片 (7A750)

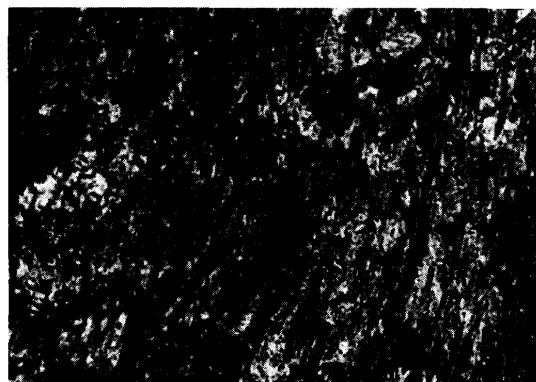


図 9 ねじり破面

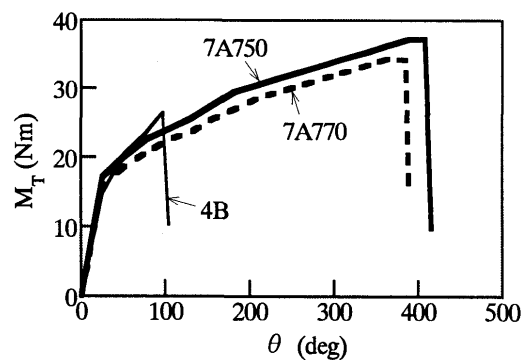


図 10 トルク-ねじれ角線図

3.2 疲労特性

図 11 に破断後の疲労試験片 (7A750, $S=70$ MPa, $N=2.4 \times 10^6$ 回) を、図 12 に疲労破面および図 13 に応力振幅 (S) と繰り返し数 (N) の関係を示す。各合金鉄物とも、疲労限は約 58 MPa と予想される。疲れ強さは 7A750 で $S=70$ MPa, $N=2.4 \times 10^6$ 回および 7A770 で $S=70$ MPa, $N=4.9 \times 10^6$ 回となった。ヒドロナリウムは鉄込み温度の影響をあまり受けなかった。

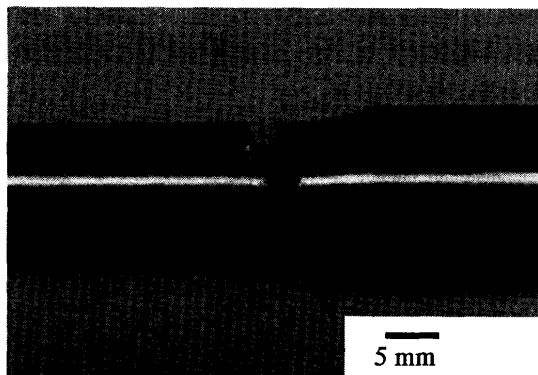


図 11 破断後の疲労試験片 (7A750)

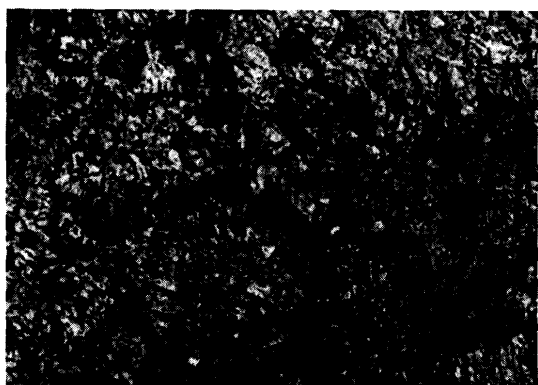


図 12 疲労破面

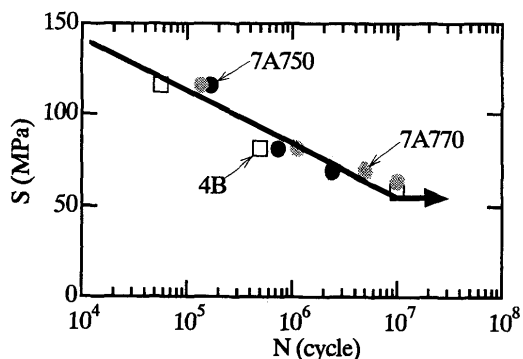


図 13 応力振幅 (S) ～繰り返し数 (N) 曲線

4. 結言

ヒドロナリウム Al 合金铸物の機械的特性を調査した。主な結果は以下のとおりである。

- (1) ヒドロナリウムの引張特性は、铸込み温度 770°C に比べ、750°C で強度一延性バランス $TS \times TEI$ に優れた。
- (2) ヒドロナリウムのねじり特性は、750°C と 770°C で铸込み温度の影響をあまり受けなかった。
- (3) ヒドロナリウムの疲れ強さは、750°C と 770°C で铸込み温度の影響をあまり受けなかった。

参考文献

- 1) 門間改三：大学基礎機械材料 SI 単位版, (1978), 170.
- 2) 森永卓一：現場アルミニウム合金铸物, (1990), 23.